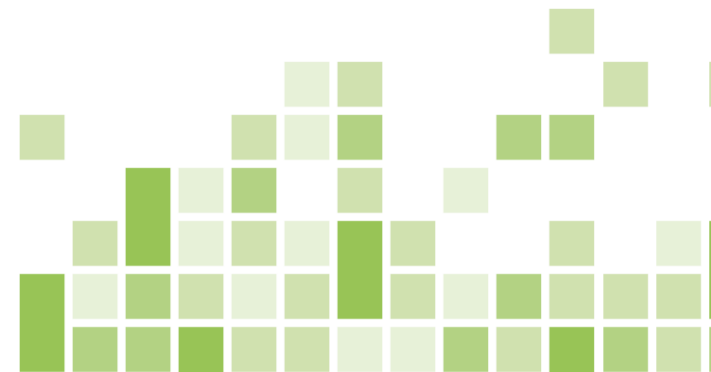




ТОМСКИЙ  
ПОЛИТЕХНИЧЕСКИЙ  
УНИВЕРСИТЕТ



# МАТЕМАТИЧЕСКОЕ МОДЕЛИРОВАНИЕ ФИЗИЧЕСКИХ ПРОЦЕССОВ ЛЕКЦИЯ №13

## «Статистическое моделирование в пакете Matlab. Решение дифференциальных уравнений в частных производных в Matlab»

Отделение ядерно-топливного цикла

Лектор:  
Зав. каф. - руководитель ОЯТЦ ИЯТШ  
Горюнов А.Г.

2020

# План лекции

13.1. Статистическое моделирование в Matlab

13.2. Решение дифференциальных уравнений в частных производных в Matlab.

13.3. Программные комплексы статистического моделирования

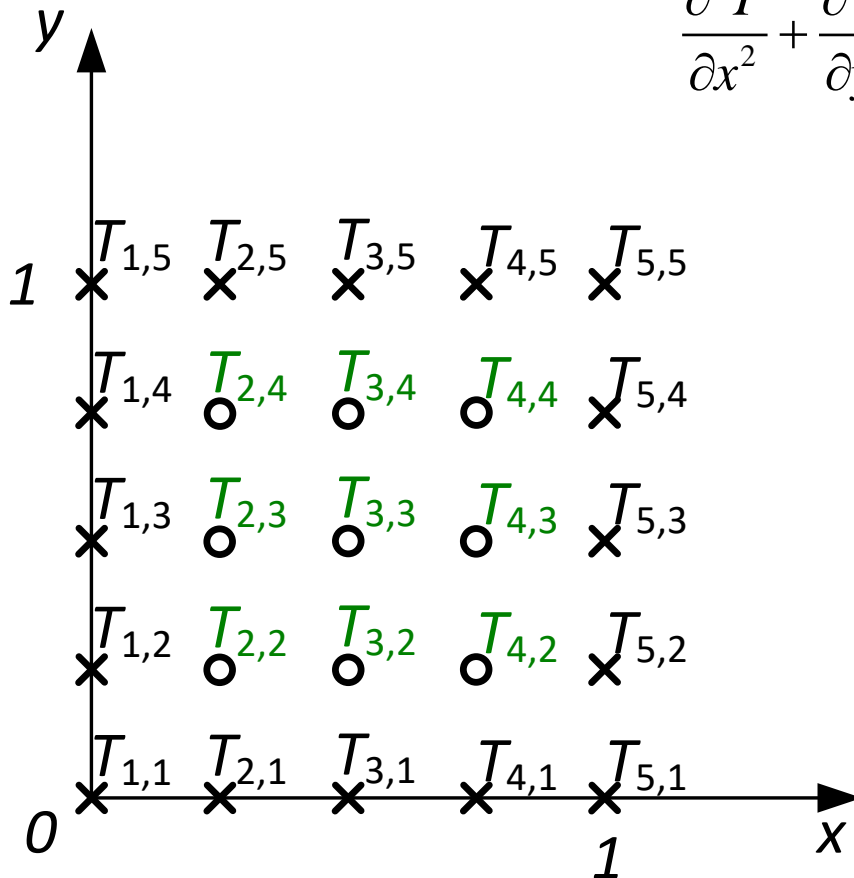
Информация по курсу:

<https://portal.tpu.ru/SHARED/a/ALEX1479/study/Matmod/Tab>

# 13.1 Статистическое моделирование в Matlab

## 13.1.1 Пример решения уравнения теплопроводности методом Монте-Карло

$$\frac{\partial^2 T}{\partial x^2} + \frac{\partial^2 T}{\partial y^2} = 0 \quad (13.1)$$



$$T_{1,1} = T_{1,2} = T_{1,3} = T_{1,4} = T_{1,5} = 0$$

$$T_{5,1} = T_{5,2} = T_{5,3} = T_{5,4} = T_{5,5} = 100$$

$$T_{2,1} = 25; T_{3,1} = 50; T_{4,1} = 75$$

$$T_{2,5} = 6.25; T_{3,5} = 25; T_{4,5} = 56.25$$

$$h = h_x = h_y = 0.25$$

## 13.1.1 Пример решения уравнения теплопроводности методом Монте-Карло

$$T_{i,j} = P_{x+} \cdot T_{i+1,j} + P_{x-} \cdot T_{i-1,j} + P_{y+} \cdot T_{i,j+1} + P_{y-} \cdot T_{i,j-1},$$
$$P_{x+} = P_{x-} = P_{y+} = P_{y-} = \frac{1}{4}. \quad (13.2)$$

Чтобы начать вычисление температуры в точке  $T_{i,j}$ , в этой точке приводится в движение случайно блуждающая частица. После этого частица начинает блуждать от одной узловой точки к другой. Когда частица достигает узловой точки на границе, блуждание прекращается и записывается известная в этой граничной точке температура.

Обозначим температуру в конце первого блуждания  $T_{w_1}$ . Затем из точки  $T_{i,j}$  выпускается вторая, третья, ...,  $N$ -я частицы и записываются соответствующие температуры в конечных точках блуждания  $T_{w_2}, T_{w_3}, \dots, T_{w_N}$ .

Температура внутренней точки определяется осреднением  $N$  температур граничных точек, достигнутых беспорядочно блуждающими частицами.

Следовательно, решение для температуры  $T_{i,j}$  по методу Монте-Карло выражается в виде:

$$T_{i,j} = \frac{1}{N} \sum_{j=1}^N T_{w_j} \quad (13.3)$$

## 13.1.1 Пример решения уравнения теплопроводности методом Монте-Карло

```
1 -   clc;
2 -   T = zeros(5,5);
3
4 -   T(1,1) = 0; T(1,2) = 0; T(1,3) = 0; T(1,4) = 0; T(1,5) = 0;
5 -   T(5,1) = 100; T(5,2) = 100; T(5,3) = 100; T(5,4) = 100; T(5,5) = 100;
6 -   T(2,1) = 25; T(3,1) = 50; T(4,1) = 75;
7 -   T(2,5) = 6.25; T(3,5) = 25; T(4,5) = 56.25;
8
9
0 -   imin = 2; imax = 4; jmin = 2; jmax = 4;
1 -   N = 1000;
2 -   Tw = []; stop = 0;
```

# 13.1.1 Пример решения уравнения теплопроводности методом Монте-Карло

```
13 - for i=2:4
14 -     for j=2:4
15 -         k = 1;
16 -         while (k < N)
17 -             ii = i; jj = j; stop = 0;
18 -             while (stop == 0)
19 -                 direction = randi(4);
20 -                 switch direction
21 -                     case 1
22 -                         ii = ii + 1;
23 -                     case 2
24 -                         ii = ii - 1;
25 -                     case 3
26 -                         jj = jj + 1;
27 -                     case 4
28 -                         jj = jj - 1;
29 -                 end
30 -                 if(ii < imin)
31 -                     Tw(k) = T(imin-1,jj);
32 -                     k = k + 1;
33 -                     stop = 1;
34 -                 end
35 -                 if(ii > imax)
36 -                     Tw(k) = T(imax+1,jj);
37 -                     k = k + 1;
38 -                     stop = 1;
39 -                 end
40 -                 if(jj < jmin)
41 -                     Tw(k) = T(ii,jmin-1);
42 -                     k = k + 1;
43 -                     stop = 1;
44 -                 end
45 -                 if(jj > jmax)
46 -                     Tw(k) = T(ii,jmax+1);
47 -                     k = k + 1;
48 -                     stop = 1;
49 -                 end
50 -             end
51 -         end
```

Command Window

ans =

0	25.0000	50.0000	75.0000	100.0000
0	22.7312	48.5688	72.3063	100.0000
0	20.5625	44.3438	70.6813	100.0000
0	16.9375	38.9125	66.1250	100.0000
0	6.2500	25.0000	56.2500	100.0000

## 13.1.2 Моделирование процесса прохождения нейтронов через пластину

Необходимо вычислить:

- 1) вероятность прохождения нейтрона через пластину  $p^+$  (случай а);
- 2) вероятность поглощения нейтрона в пластине  $p^0$  (случай б);
- 3) вероятность отражения нейтрона пластиной  $p^-$  (случай в).

Взаимодействие нейтронов с веществом описывается двумя сечениями:  $\Sigma_s$  и  $\Sigma_c$ . Их сумма – полное сечение взаимодействия:  $\Sigma = \Sigma_s + \Sigma_c$ .

Таким образом, при столкновении нейтрона с атомом вероятность поглощения равна  $\Sigma_c/\Sigma$ , а вероятность рассеяния –  $\Sigma_s/\Sigma$ .

Для разыгрывания длины свободного пробега воспользуемся выражением:

$$\lambda = -\frac{1}{\Sigma} \ln \gamma, \quad (13.4)$$

где  $\gamma$  - случайная величина с равномерным распределением.

Остается выбирать случайное направление нейтрона после рассеяния. Так как задача симметрична относительно  $x$ , то направление определяется одним углом  $\phi$  между скоростью и осью  $OX$ . Требование равной вероятности любого направления равносильно требованию, чтобы косинус этого угла  $\mu = \cos\phi$  был равномерно распределен в интервале  $(-1,1)$ . Для равномерно распределенных величин на отрезке  $[-1,1]$  правило розыгрыша:  $\gamma=(\mu-(-1))/(1-(-1))$ , следовательно,  $\mu = 2\gamma-1$ .

## Схема алгоритма

Пусть нейтрон испытал  $k$ -ое рассеяние внутри пластины в точке с абсциссой  $x_k$  и после этого начал двигаться в направлении  $\mu_k$ .

Разыграем длину свободного пробега:

$$\lambda_k = -\frac{1}{\Sigma} \ln \gamma$$

Вычислим абсциссу следующего столкновения:

$$x_{k+1} = x_k + \lambda_k \mu_k$$

Проверим условие прохождения через пластинку:  $x_{k+1} > h$ ?

Если это условие выполнено, то траектория заканчивается и добавляется 1 к счетчику прошедших частиц  $N_+$ . В случае, если условие не выполнено, проверяем условие отражения:  $x_{k+1} < 0$ . Если да, то добавляется единица к счетчику отраженных частиц  $N_-$ . Если нет, т.е.  $0 \leq x_{k+1} \leq h$ , то нейтрон испытал  $k+1$  столкновение внутри пластины и надо разыграть судьбу нейтрона при столкновении.

Проверяем условие поглощения:  $\gamma < \Sigma_c / \Sigma$ . Если да, то добавляем единицу к счетчику поглощенных частиц  $N_0$ . Если нет, тогда разыгрываем рассеяние  $\mu_{k+1} = 2\gamma - 1$ , и цикл повторяется снова (но уже с другими значениями  $\gamma$ ).

Все  $\gamma$  написаны без индексов, так как имеется в виду, что каждое значение  $\gamma$  используется всего один раз.

Для расчета одного звена траектории нужны три значения  $\gamma$ . Начальные значения для каждой траектории  $x_0 = 0$ ,  $\mu_0 = 1$ .

$$p^+ \approx N^+ / N; p^- \approx N^- / N; p^0 \approx N^0 / N.$$

## Код в Matlab

```

lecture_13_2.m x
1 -   clic;
2 -   sigma = 15; sigma_c = 5;
3 -   h = 0.002;
4 -   N = 1000;
5 -   Nplus = 0; Nnull = 0; Nminus = 0;
6 -   x = []; m = [];
7 -   j = 1;
8 -   while (j < N)
9 -       k = 1; x(1) = 0; m(1) = 0; cycle = 1;
10 -      while(cycle == 1)
11 -          lambda = (-1/sigma)*log(rand(1));
12 -          x(k+1) = x(k) + lambda * m(k);
13 -          if(x(k+1) > h)
14 -              Nplus = Nplus + 1;
15 -              cycle = 0;
16 -          else
17 -              if(x(k+1) < 0)
18 -                  Nminus = Nminus + 1;
19 -                  cycle = 0;
20 -              else
21 -                  if (rand(1) < (sigma_c/sigma))
22 -                      Nnull = Nnull + 1;
23 -                      cycle = 0;
24 -                  else
25 -                      m(k+1) = 2*rand(1) - 1;
26 -                      k = k + 1;
27 -                  end
28 -              end
29 -          end
30 -      end
31 -      j = j + 1;
32 -   end
33 -   p_plus = Nplus / N
34 -   p_minus = Nminus / N
35 -   p_null = Nnull / N
36 -   p = p_plus + p_minus + p_null

```

Command Window

```

p_plus =
    0.3300

p_minus =
    0.3510

p_null =
    0.3180

p =
    0.9990

```

# 13.2 Решение дифференциальных уравнений в частных производных в Matlab

Многие прикладные задачи сводятся к решению дифференциальных уравнений в частных производных (ДУЧП) и их систем. Распространенным приближенным методом их решения является **метод конечных элементов** (МКЭ).

В Matlab МКЭ реализован в пакет расширения Partial Differential Equations Toolbox (**PDE Toolbox**), который предназначен для решения краевых задач с дифференциальными уравнениями в частных производных в двумерных областях. Пакет состоит из набора функций, автоматизирующих реализацию МКЭ для решения различного типа ДУЧП 2 – го порядка и их систем: эллиптических, параболических и гиперболических. Кроме того, в состав пакета входит приложение `pdetool` с графическим интерфейсом пользователя, использование которого не требует глубокого понимания метода конечных элементов и упрощает доступ к набору функций пакета.

## 13.2.1 Метод конечных элементов

**Метод конечных элементов (МКЭ)** – основной метод современной вычислительной механики, лежащий в основе подавляющего большинства современных программных комплексов, предназначенных для выполнения расчетов инженерных конструкций на ЭВМ. МКЭ используется для решения разнообразных задач как в области прочностных расчетов, так и во многих других сферах: гидродинамике, электромагнетизме, теплопроводности и др.<sup>1</sup>

Метод конечных элементов позволяет практически полностью автоматизировать расчет механических систем, хотя, как правило, требует выполнения значительно большего числа вычислительных операций по сравнению с классическими методами механики деформируемого твердого тела. Современный уровень развития вычислительной техники открывает широкие возможности для внедрения МКЭ в инженерную практику. Поэтому знание основ метода конечных элементов и современных программных средств, позволяющих на его основе решать разнообразные задачи, в наше время для инженера является абсолютно необходимым.<sup>1</sup>

1. Шимановский А. О. Применение метода конечных элементов в решении задач прикладной механики : учеб.-метод. пособие для студентов технических специальностей / А. О. Шимановский, А. В. Путято ; М-во образования Респ. Беларусь, Белорус. гос. ун-т трансп. – Гомель : БелГУТ, 2008. – 61 с.

## 13.2.1 Метод конечных элементов

В МКЭ исследуемая конструкция мысленно разбивается на отдельные части – **конечные элементы**, соединяющиеся между собой в узлах. Совокупность соединенных между собой и прикрепленных к основанию конечных элементов образует расчетную схему, называемую конечноэлементной схемой или **конечноэлементной моделью**.

Каждый отдельно конечный элемент должен быть достаточно простым, чтобы имелась возможность легко определить перемещения и напряжения в любой его части по заданным перемещениям узлов. Связь между перемещениями узлов элемента и силами, действующими на них, задается при помощи **матрицы жесткости элемента**. Количество перемещений узлов элемента, которые однозначно определяют положение данного элемента, называют **числом степеней свободы элемента**.

Аналогично, для всей конечноэлементной схемы вводятся **матрица жесткости системы  $K$** , или **глобальная матрица жесткости**, устанавливающая связь между перемещениями узлов системы и силами, действующими на них, а также число степеней свободы системы, или глобальное число степеней свободы – количество координат узлов системы, которые достаточно знать, чтобы однозначно определить положение всей системы. Обычно, все степени свободы представляются в виде вектора  $U$ , называемого **вектором узловых перемещений**.

## 13.2.1 Метод конечных элементов

Так как матрица жесткости системы устанавливает связь между силами, приложенными к ее узлам, и перемещениями ее узлов, то, имея построенную матрицу жесткости системы и зная узловую нагрузку  $F$ , можно найти перемещения всех узлов конечноэлементной схемы. Для этого требуется решить систему линейных алгебраических уравнений вида:

$$K \cdot \bar{U} = \bar{F}_M + \bar{F}_0 \quad (13.5)$$

где  $F_M$  – вектор внешних сил, а  $F_0$  есть узловой вектор начальных сил, который имеет место, например, при учете начальных температурных напряжений. Порядок этой системы равен глобальному числу степеней свободы системы. По вычисленным таким образом перемещениям определяются напряжения и деформации. Физический смысл векторов  $U$  и  $F$  определяются областью применения МКЭ:

Область применения	$\bar{U}$	$\bar{F}$
Механика деформируемого твердого тела	Перемещение	Сила
Теплоперенос	Теплопроводность	Тепловой поток
Гидромеханика	Скорость	Поток
Электростатика	Электрический потенциал	Плотность заряда
Магнитостатика	Магнитный потенциал	Интенсивность магнитного поля

## 13.2.1 Метод конечных элементов

Основные этапы метода конечных элементов:



## Toolbox

<https://www.youtube.com/watch?v=gFnFEsqXOwo>



## Возможности Partial Differential Equation (PDE) Toolbox

# 13.3 Программные комплексы статистического моделирования

Существует множество пакет имитационного и статистического моделирования, например:

**GPSS (General Purpose Simulation System)** – общецелевая система моделирования сложных систем, разработанная Джеффри Гордоном в 1960 г. в компании IBM. Первоначально разрабатывалась и поддерживалась компанией IBM. В настоящее время имеются версии различных разработчиков. В Интернете обширную информацию о системе предоставляют следующие русскоязычные источники:

<http://www.gpss.ru> – портал GPSS.RU , посвященный имитационному моделированию с использованием GPSS и других средств;

<http://gpss-forum.narod.ru> – сайт Юрия Носкова о GPSS.

**Geant4 (англ. GEometry ANd Tracking)** — геометрия и трекинг) — инструментарий для моделирования прохождения элементарных частиц через вещество с использованием методов Монте-Карло. Разработана в CERN на объектно-ориентированном языке программирования C++.

## 13.3.1 Набор инструментов GEANT4

**GEANT4** представляет собой набор программ для моделирования прохождения частиц через вещество

- Включает в себя инструменты для гибкого описания геометрии
- Содержит множество физических моделей взаимодействия частиц с веществом<sup>^</sup>
  - Электромагнитные процессы
  - Адронные процессы
  - Фотон-адронные и лептон-адронные процессы
  - Процессы с участием оптических фотонов
  - Моделирование распадов
  - Параметризация
  - Методы использования статистических весов

## 13.3.1 Набор инструментов GEANT4

### Документация Geant4

Geant4 User's Guide for Application Developers

Geant4 Physics Reference Manual

Geant4 User's Guide for Toolkit Developers

<https://geant4.web.cern.ch/>

### Ядро GEANT4

Классы, описывающие основные понятия:  
сеанс, событие, трек, шаг срабатывание,  
траектория.

Базовый механизм:

- описания геометрии
- описания физических процессов
- визуализации и интерфейсов пользователя

